

MARIA SOBOLEWSKA

DIAGRAM PYŁKOWY PLEJSTOCĘŃSKICH OSADÓW Z WILAMOWIC  
NA POGÓRZU ŚLĄSKIM

Pollen diagram of the Pleistocene deposits at Wilamowice  
in the Silesian Highland

SPIS TREŚCI

Wstęp . . . . .	3
Opis profilu . . . . .	4
Metoda badań . . . . .	5
Opis diagramu pyłkowego i rozwoju roślinności . . . . .	5
Klimat . . . . .	7
Dyskusja nad wiekiem zbadanych osadów . . . . .	7
Literatura . . . . .	8
Summary . . . . .	8

WSTĘP

Profil osadów eksploatowanych w cegielni w Wilamowicach (265 m npm.), pow. Oświęcim, opisał po raz pierwszy K. Konior (1939), stwierdzając w ciemnoszarych ilach piaszczystych szczątki roślin. Wyniki badań litologicznych i paleobotanicznych (1 spektrum pyłkowe) doprowadziły K. Koniora (l.c.) do przekonania, że warstwa zawierająca szczątki flory kopalnej pochodzi z interglacjalu mazowieckiego (Masovian I według schematu stratygraficznego W. Szafera z 1928 r.).

O wieku osadów z Wilamowic wypowiadał się A. Środon (1952), a w wiele lat później E. Stupnicka (1964) poświęciła temu stanowisku szczegółowe i na własnych materiałach oparte studium. E. Stupnicka (l.c.) umieściła ilę z florą, podobnie jak to uczynił K. Konior (l.c.), w pozycji interglacialnej pomiędzy utworami zaliczonymi do zlodowaceń krakowskiego i środkowopolskiego.

Po ukazaniu się rozprawy E. Stupnickiej ponowne zbadanie osadów profilu z Wilamowic stało się rzeczą ważną. Materiały zebrałam w 1964 r. z pomocą prof. dra A. Środonia, a ich wyniki zawiera niniejsza praca.

#### OPIS PROFILU

Następstwo warstw w profilu z Wilamowic przedstawia się według opisu wykonanego w 1964 r. przez A. Środonia następująco:

- 0,00— 3,50 m glina żółta lessowata (bliżej nie rozpoznana)
- 3,50— 3,90 m piasek gruboziarnisty, rdzawy z niewyraźnym warstwowaniem i ciemnymi pasmami
- 3,90— 5,45 m glina piaszczysta, siwa, warstwowana z soczewkami piasku ze żywrem krystalicznym ( $\varnothing$  do 5 cm) i warstwkami do 1 cm piasku rdzawego
- 5,45— 5,80 m piasek rdzawy ze żywrem krystalicznym i warstwkami gliny siwej
- 5,80— 6,65 m glina siwa z rdzawymi warstwami z grubym żywrem krystalicznym. Główny poziom zawiera bloki o  $\varnothing$  do 1 m
- 6,65— 7,55 m glina piaszczysta, oliwkowa ze żywrem krystalicznym i rdzawymi warstwkami
- 7,55— 7,58 m piasek z czarnym żywrem
- 7,58— 7,68 m glina plastyczna, oliwkowa z nieznaczną ilością piasku drobnoziarnistego i żywirków
- 7,68— 8,18 m glina plastyczna z piaskiem drobnoziarnistym i rzadkimi żywirkami, ceglasta, zazębająca się z wyżej leżącą gliną oliwkową
- 8,18— 8,33 m glina plastyczna, oliwkowa, z nieznaczną ilością piasku drobnoziarnistego i żywirków
- 8,33— 8,68 m mułek ciemnopopielaty z drobnym żywkiem
- 8,68— 9,18 m mułek torfowy z nierównomiernie wykształconymi warstwami torfu brunatnego; w spągu mułek zazębia się z ciemnopopielatym iliem
- 9,19—10,28 m il ciemnopopielaty z drobnym żywkiem i płatami ilu popielatego w spągu
- 10,28—10,33 m il ciemnopopielaty zawierający znaczne ilości węgielków
- 10,33—10,93 m il ciemnopopielaty, jak w poziomie 9,18—10,28 m
- 10,93—11,33 m il siwy, plastyczny
- 11,33—11,43 m il ciemnobrunatny, plastyczny z detrytusem roślinnym
- 11,43—13,03 m il siwy, plastyczny
- 13,03—13,28 m il ciemnobrunatny z detrytusem roślinnym
- 13,28—? m żywiry rzeczne, fliszowe, rdzawe z domieszką żywów krystalicznych

W zawiłej stratygrafii czwartorzędu Pogórza Śląskiego, zawierającego resztki moren oraz ich rezidua, profil cegielni w Wilamowicach zasługuje na szczególną uwagę. E. Stupnicka (l.c.) dostrzega w nim podobieństwa z następstwem osadów czwartorzędowych w okolicy Ostrawy i Bramy Morawskiej i na tej podstawie uznaje spągową warstwę żwirów (A<sub>1</sub>) za odpowiednik zlodowacenia krakowskiego, a wyższą warstwę żwirów (B) wiąże ze zlodowaceniem środkowopolskim.

#### METODA BADAŃ

Próby do analizy pyłkowej w ilości 119 pobrano w południowej części cegielni, z odcinka profilu 5,80—11,93 m; średni odstęp między próbami wynosi 5,1 cm.

Próba ostatnia, oznaczona nr 120, pochodzi z warstwy ilu zalegającej na głębokości 13,03—13,28 m, zalanej w czasie badań wodą.

Próby od 1 do 48 i od 101 do 119 pozbawione były sporomorf. Diagram pyłkowy obejmuje więc wyniki analizy pyłkowej prób od 49 do 100.

Wszystkie próby były traktowane przed acetolizą kwasem fluorowodorowym celem usunięcia części ilstych. Frekwencja sporomorf zachowanych w poszczególnych próbach była różna i wała się od 4 do 287 sporomorf/cm<sup>2</sup>. Suma przeliczonych z próby sporomorf pozostawała w zależności od frekwencji i wynosiła od 76 do 1595. W całym profilu znajdowano sporadycznie występujące ziarna pyłku roślin trzeciorzędowych na wtórnym złożu (*Araliaceae*, *Carya*, *Gleicheniaceae*, *Ilex*, *Pterocarya*, *Rhamnaceae*, *Sciadopitys*).

Szczątki makroskopowe roślin oznaczył prof. dr A. Srodon, za co mu uprzejmie dziękuję.

#### OPIS DIAGRAMU PYŁKOWEGO I ROZWOJU ROŚLINNOŚCI

Wyniki analizy palynologicznej obejmujące spektrum pyłkowe 52 prób pochodzą z osadu o miąższości 2,60 m (tab. 2, ryc. 1). Diagram zawiera również spektrum pyłkowe próby nr 120. Zachowały się w niej liczne szczątki makroskopowe świerka i sosny oraz oficie występujące ziarna pyłku obu tych drzew, których łączny udział wynosi 68%. Udział pyłku brzozy wynosi zaledwie 6,3%, a olszy i leszczyny razem 1,3%. Panujące niemal czyste drzewostany szpilkowe wskazują na klimat umiarkowanie chłodny. Stosunkowo dość znaczny udział roślin zielnych (22,4%) dowodzi, że lasy te nie były zwarte. Zdaniem M. Weltera (1950), obecność zwartych lasów można przyjąć dopiero wtedy, gdy ilości pyłku roślin zielnych spadają poniżej 15%. Musiały więc występować tereny niezalesione, na których mogły rosnąć takie światłóżądne rośliny, jak *Sanguisorba officinalis*, *Lycopodium selago* i *Hippophaë rhamnoides*.

Występowanie roślin takich, jak *Batrachium* sp., *Potamogeton pectinatus*, *Juncus* sp., *Glyceria aquatica* i *Hippuris vulgaris*, świadczy o obecności otwartych zbiorników wodnych.

Opisane spektrum oddziela od prób składających się na właściwy diagram pyłkowy warstwa osadu o miąższości około 2,30 m, nie zawierająca sporomorf.

W głównej części diagramu pyłkowego można wyróżnić dwie wyraźnie różniące się fazy rozwoju roślinności, starszą leśną i młodszą bezleśną. W próbach z dolnej części diagramu (100—68), pochodzących z ciemnopopielatego ilu, ziarna pyłku drzew należą prawie wyłącznie do brzozy, sosny, świerka i olszy. Obfitość pyłku ostatniego z wymienionych drzew dowodzi wysokiego poziomu wód gruntowych. Udział pyłku świerka nie jest zbyt duży (maks. 9,2%), ale niewątpliwie drzewo to wchodziło w skład omawianego lasu, i to w dość znacznych ilościach. Środőd (1967) podaje, że ilości pyłku świerka w granicach 1,1—3,0% wskazują na obecność tego drzewa *in situ*. Pyłek drzew ciepłolubnych pojawiał się w sporadycznie występujących śladach (ilości maksymalne pyłku *Carpinus* — 1,8%, *Ulmus* — 0,4%, *Quercus* — 0,1%, *Tilia* — 0,6%). Nieco większe wartości — do 3,5% — osiąga leszczyna. Krzywa pyłku roślin zielnych wykazuje stosunkowo małe wahania, z wyjątkiem kilku prób, o których będzie mowa poniżej. Obficie występowały zarodniki *Sphagnum*.

Las, który rozwijał się w sąsiedztwie zbiornika wodnego, był niezbyt gęstym lasem brzozowo-sosnowym z obfitą domieszką świerka. Mógł on w przybliżeniu odpowiadać podmokłym borom bagiennym, które dziś tworzą niewielkie enklawy w obrębie borów sosnowych na glebach ubogich i wilgotnych. Podszycia brak w nich niemal zupełnie, a runo pokrywa dno lasu zwartym kobiercem. Dominują w nim mchy, a zwłaszcza torfowce i krzewinki z rodziny *Ericaceae* (Szata roślinna Polski, t. I, s. 416). Na siedliskach podmokłych lub okresowo podtapianych występowały olszyny. W zbiorniskach tych nie było odpowiednich warunków dla drzew ciepłolubnych i ich pyłek, stwierdzony w osadzie, pochodzi najprawdopodobniej z transportu.

W zbiornikach wodnych rosły *Myriophyllum*, *Batrachium*, *Potamogeton*, a na brzegach szereg roślin bagiennych.

Ten stan pewnej równowagi został naruszony na odcinku profilu od 83 do 78 próby. Obniżyły się wartości procentowe brzozy, a jeszcze wyraźniej zaznaczył się spadek olszy i świerka oraz zarodników *Sphagnum*. Równocześnie podniosły się ilości pyłku traw i turzyc, natomiast zubożały skład roślin wodnych. Zmiany te sugerują wyschnięcie zbiornika wodnego, którego dno wypełnione osadem zajęły turzyce i trawy oraz rośliny wilgotnych siedlisk.

Po tym niezbyt długo trwającym epizodzie rozwinęła się roślinność zbliżona składem do poprzednio tu występującej. Brzoza, olsza i świerk odzyskały swe dawne znaczenie, masowo pojawiły się z powrotem zarod-

niki *Sphagnum*, turzyce natomiast przestały odgrywać rolę. Rozwinął się ponownie bór bagienny z torfowcami i olszyną, a rośliny wodne i bagienné (*Batrachium*, *Myriophyllum*, *Potamogeton*, *Sparganium*) zajęły zregenerowany zbiornik wodny.

Spektra prób 67—49, składające się na górną część diagramu, pochodzą z mułków torfiastycznych, z mułku z drobnym żwirkiem i z gliny o dużej przymieszcze piasku. Spada udział pyłku drzew, las rozluźnia się, a jego miejsce zajmują zbiorniska lasotundry z panującymi *Gramineae*, *Cyperaceae* i *Artemisia*, a wśród nich liczne heliofity (*Saxifraga*, *Selaginella selaginoides*, *Helianthemum*, *Gentiana*). Niektóre spośród nich osiągają w tym czasie swoje kulminacje (*Thalictrum*, *Caryophyllaceae*, *Cruciferae*, *Ranunculaceae*). Rośliny wodne i bagienné (*Potamogeton*, *Myriophyllum*, *Sparganium*, *Typha latifolia*, *Comarum palustre*, *Hippuris vulgaris* i *Ranunculus sceleratus*) rosły w jeziorkach położonych w obniżeniach terenu.

#### KLIMAT

Diagram pyłkowy z Wilamowic przedstawia dwie różne fazy rozwoju roślinności. Starsza, brzozowo-sosnowa z domieszką świerka i znacznym udziałem olszy, wskazuje na klimat umiarkowanie chłodny o charakterze borealnym.

Faza młodsza, obejmująca górny odcinek diagramu z panującymi zbiorniskami lasotundry, była niewątpliwie dużo chłodniejsza i prawdopodobnie suchsza od poprzedniej i posiadała cechy klimatu kontynentalnego. Temperatury roczne były jeszcze dość znaczne, czego dowodzi występowanie *Hippophaë rhamnoides*, *Pleurospermum austriacum* i *Typha latifolia*, roślin nie znoszących klimatu skrajnie zimnego (Iversen 1954).

#### DYSKUSJA NAD WIEKIEM ZBADANYCH OSADÓW

Wyniki badań paleobotanicznych w Wilamowicach dają słabe tylko podstawy do zajęcia stanowiska w sprawie wieku omawianych osadów. Zadecydować mogą tu raczej fakty geologiczne.

Wykazany skład roślinności i jej przemian jest typowy dla okresów chłodnych, jakie miały miejsce w różnych odcinkach czwartorzędu. Dolna, leśna część diagramu pyłkowego z Wilamowic podobna jest do diagramu z Wadowic, pochodzącego z interstadiału Brørup (Sobolewska, Starkel, Środoń 1964). Ale tego rodzaju sugestia automatycznie podważa możliwość uznania warstwy pokrywającej zbadane mułki za morenę znajdująca się *in situ*.

Jeśli natomiast przyjmie się za Stupnicką (1964), że utwory morenowe przykrywające zbadane osady pochodzą z okresu zlodowacenia

środkowopolskiego, wówczas spągowa próba 120 i cała reszta zbadanego profilu mogłyby pochodzić ze schyłku interglacjalu mazowieckiego. Nie można jednak wykluczyć, że tylko próba 120 pochodzi z tego okresu. W takim razie leżąca powyżej warstwa ilu plastycznego o miąższości ponad 2 m, pozbawiona sporomorf, reprezentowałaby być może zimne wahanie stadialne, oddzielające okres interstadialnej poprawy klimatu w obrębie zlodowacenia środkowopolskiego.

*Instytut Botaniki Polskiej Akademii Nauk w Krakowie  
Zakład Paleobotaniki*

#### LITERATURA

- Iversen J. 1954. The Late-glacial Flora of Denmark and its Relation to the Climate and Soil. Danm. Geol. Unders. II, 80: 87—119.
- Konior K. 1939. O występowaniu interglacjalnych warstw w Wilamowicach. Starnia 18: 1—7.
- Sobolewska M., Starkel L., Środoń A. 1964. Młodoplejstoceńskie osady z florą kopalmową w Wadowicach. Folia Quatern. 16: 1—64.
- Stupnicka E. 1964. Utwory czwartorzędowe w dolinach górnej Wisły i Soły. Biul. Geol. 3: 184—350.
- Szata Roślinna Polski. Opracowanie zbiorowe pod redakcją W. Szafera. Warszawa 1959.
- Środoń A. 1952. Ostatni glacjał i postglacjał w Karpatach. Biul. Inst. Geol. 67: 27—75.
- Środoń A. 1967. Świerk pospolity w czwartorzędzie Polski. Acta Palaeobot. 8/2: 3—59.
- Welten M. 1950. Beobachtungen über den rezenten Pollenniederschlag in alpiner Vegetation. Ber. Geob. Inst. Rübel, Zürich: 48—57.

#### SUMMARY

#### POLLEN DIAGRAM OF THE PLEISTOCENE DEPOSITS AT WILAMOWICE IN THE SILESIAN HIGHLAND

In the profile of sediments exploited in the brickworks at Wilamowice K. Konior (1939) detected a layer of clays with plant remains, to which he assigned the age of the Masovian (= Holsteinian) Interglacial. Twenty five years later E. Stupnicka (1964), after carrying out de-

tailed geomorphological studies on this site, located the above mentioned clays also among deposits included in the Cracovian and Middle Polish Glaciation. On account of the situation of Wilamowice in the south of Poland, where Interglacial sediments had not so far been found, investigations of the profile under consideration were undertaken, being carried out with the aid of pollen analysis.

The material included 120 samples; a large part of them had no sporo-morphs, owing to which the pollen diagram was made up of only 53 samples (fig. 1). The latter represents two different, strongly contrasting phases of development of the vegetation. The lower part of the diagram proceeds from the forested period, the upper one from the treeless period. The trees composing the forest were *Pinus*, *Betula*, *Alnus*, and *Picea*. The pollen of trees with greater thermal requirements found in this part of the profile (*Quercus*, *Tilia*, *Ulmus*, *Carpinus*) proceeds from transport. There was a considerable diversity of genera of herbaceous plants, but their proportion was very small, with the exception of *Gramineae* and *Sphagnum* spores.

This forest, the composition of which approximately corresponds to the contemporaneous bog pinewoods (*Pineto-Vaccinietum uliginosi*), indicates a temperate cool climate of boreal character.

The younger part of the diagram proceeds from a period in which the forest became less thick, being replaced by communities of the park tundra with predominant *Gramineae*, *Cyperaceae*, and *Artemisia*, and numerous heliophytes (*Saxifraga*, *Selaginella*, *Helianthemum*, *Gentiana*). Some of them attained their culminations here (*Thalictrum*, *Caryophyl-laceae*, *Cruciferae*, *Ranunculaceae*). The climate at that time was much colder and drier than previously, but devoid of the traits of an arctic climate.

The results obtained by pollen analysis do not provide a certain and univocal basis for determining the age of the sediments from Wilamowice. The vegetation represented by the pollen diagram may proceed from both the decline of the Masovian Interglacial and the interstadial oscillation within the Middle-Polish Glaciation. There appears a striking similarity between this pollen diagram and that from the near by Wadowice, assigned to the Brørup interstadial (Sobolewska, Starkel, Srodon 1964) although this estimate of age is contradicted by facts reported by geomorphologists.

*Institute of Botany of the Polish Academy of Sciences in Kraków  
Department of Palaeobotany*



## Lista szczątków makroskopowych - List of macroscopic plant remains

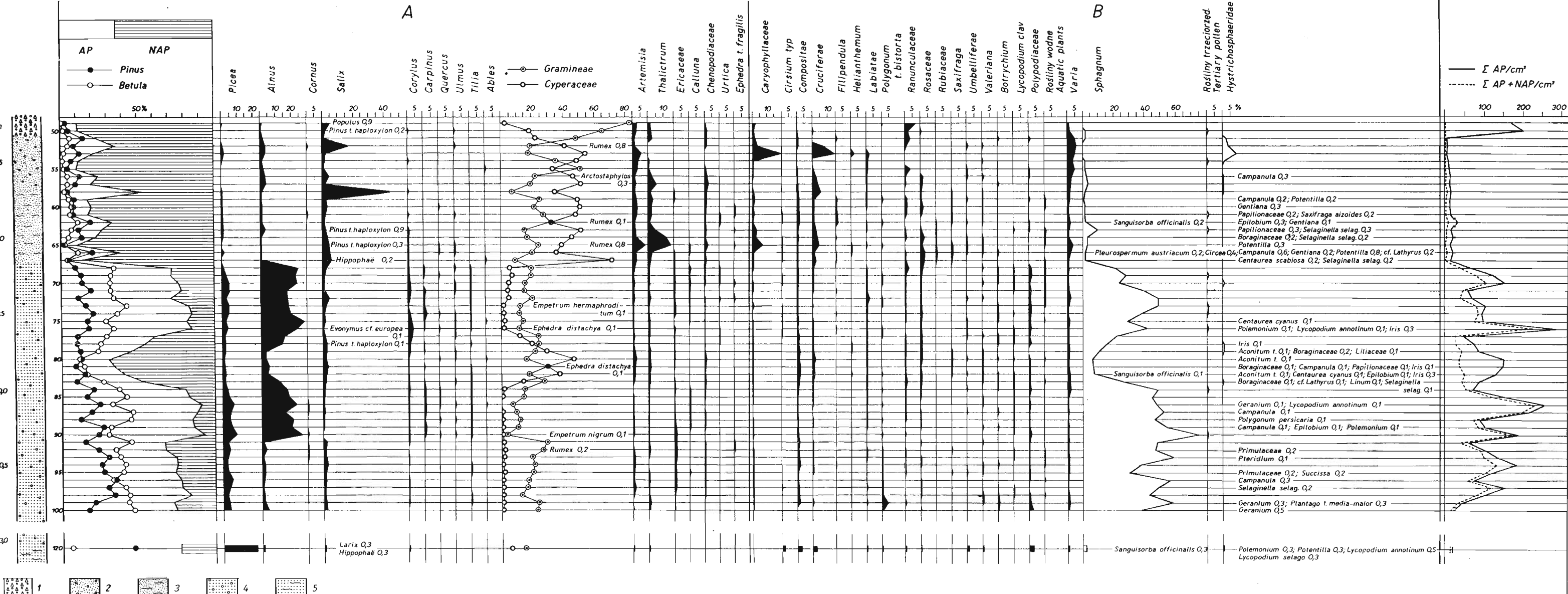
szp. - szpilka (needle); n. - nasienie (seed); sz. - szyszka (cone); krk. - krótkopęd (short shoot); sk. skrzydełko (wing); o. - owoc (fruit);  
 oog. - oogonium; skl. - sklerotia; st. - statoblast

	Nazwa roślin Names of plants	Rodzaj szczątku Kind of remain	3,33-8,68	8,68 - 9,18			9,18 - 10,28			10,28-10,33	10,33-10,93	10,93-11,33	11,33-11,43	11,43-13,03	13,03-13,28
				I	II	III	IV	V	VI	VII	VIII	IX	-	X	XII
1.	<i>Picea excelsa</i>	szp. n.													62
2.	<i>Pinus silvestris</i>	sz.krk.sk.													4
3.	<i>Rubus</i> sp.	o.													1
4.	<i>Batrachium</i> sp.	o.		5	1										1
5.	<i>Carex</i> sp. div.	o.	54	201	15	22	2								17
6.	<i>Comarum palustre</i>	o.			2										
7.	<i>Filipendula ulmaria</i>	o.													2
8.	<i>Glyceria aquatica</i>	o.													12
9.	<i>Hippuris vulgaris</i>	o.													4
10.	<i>Juncus</i> sp.	n.													1
11.	<i>Myriophyllum</i> sp.	o.		3				1							
12.	<i>Polygonum minus</i>	o.			3										
13.	<i>Potamogeton pusillus</i>	o.				1									6
14.	<i>P. pectinatus</i>	o.													
15.	<i>Potamogeton</i> sp.	o.					1								
16.	<i>Potentilla</i> sp.	o.		1											
17.	<i>Ranunculus sardous</i>	o.													1
18.	<i>R. sceleratus</i>	o.	23	1	27		1								
19.	<i>Sparganium minimum</i>	o.				1									
20.	<i>Typha</i> sp.	o.													
21.	Characeae	oog.		4											
22.	<i>Cenococcum</i>	skl.													
23.	<i>Bryozoa</i>	st.		2											16

mowice. Bezwzględne ilości sporomorf  
mowice. Absolute numbers of sporomorphs

Nr prophy to sample	Frequency of $L_{\text{P}}^{\text{GDF}}$ of sporozoans / cm $^{-2}$	Frequency of $L_{\text{P}}^{\text{GDF}}$ of sporozoans / cm $^{-2}$		$\Sigma$ AP	$\Sigma$ NAP	$\Sigma$ AP	$\Sigma$ NAP	$\Sigma$ AP	$\Sigma$ NAP	Frequency of $L_{\text{P}}^{\text{GDF}}$ of sporozoans / cm $^{-2}$	Frequency of $L_{\text{P}}^{\text{GDF}}$ of sporozoans / cm $^{-2}$	
		1	2			3	4	5	6	7		
49	170	36	306	374	10	1	1	1	1	1	1	1
51	200	45	349	396	1	1	1	1	1	1	1	1
52	6	45	83	133	1	1	1	1	1	1	1	1
53	2	45	43	145	1	1	1	1	1	1	1	1
54	4	45	43	75	1	1	1	1	1	1	1	1
55	10	45	43	220	1	1	1	1	1	1	1	1
56	11	45	179	226	1	1	1	1	1	1	1	1
57	16	25	223	331	1	1	1	1	1	1	1	1
58	17	25	216	303	1	1	1	1	1	1	1	1
59	14	25	234	558	1	1	1	1	1	1	1	1
60	15	25	323	434	1	1	1	1	1	1	1	1
61	14	25	323	434	1	1	1	1	1	1	1	1
62	12	25	335	448	1	1	1	1	1	1	1	1
63	17	25	397	660	1	1	1	1	1	1	1	1
64	21	25	239	388	1	1	1	1	1	1	1	1
65	15	25	369	539	1	1	1	1	1	1	1	1
66	25	37	523	442	1	1	1	1	1	1	1	1
67	16	51	313	588	1	1	1	1	1	1	1	1
68	125	50	267	477	1	1	1	1	1	1	1	1
69	125	50	303	603	1	1	1	1	1	1	1	1
70	155	108	103	108	1	1	1	1	1	1	1	1
71	61	569	121	1017	101	1	1	1	1	1	1	1
72	70	46	151	1020	138	1	1	1	1	1	1	1
73	83	46	187	1040	123	1	1	1	1	1	1	1
74	75	46	132	1188	100	1	1	1	1	1	1	1
75	76	100	137	1014	128	1	1	1	1	1	1	1
76	287	295	620	379	119	1	1	1	1	1	1	1
77	54	29	933	161	1595	199	1	1	1	1	1	1
78	77	29	488	312	1022	85	1	1	1	1	1	1
79	88	45	483	403	1073	87	1	1	1	1	1	1
80	360	45	450	539	97	1	1	1	1	1	1	1
81	360	45	160	103	197	1	1	1	1	1	1	1
82	129	45	585	1010	82	1	1	1	1	1	1	1
83	132	45	34	505	128	160	1	1	1	1	1	1
84	90	365	510	908	69	1	1	1	1	1	1	1
85	74	596	138	1131	156	1	1	1	1	1	1	1
86	158	634	121	1115	125	1	1	1	1	1	1	1
87	220	80	518	518	251	1	1	1	1	1	1	1
88	92	202	108	105	1068	93	1	1	1	1	1	1
89	107	89	712	108	1298	224	1	1	1	1	1	1
90	191	175	700	49	1335	184	1	1	1	1	1	1
91	65	43	350	171	786	80	1	1	1	1	1	1
92	109	95	383	180	846	136	1	1	1	1	1	1
93	124	95	618	125	125	25	1	1	1	1	1	1
94	183	135	591	1017	188	294	1	1	1	1	1	1
95	118	108	435	148	784	160	1	1	1	1	1	1
96	78	59	473	132	960	215	1	1	1	1	1	1
97	155	119	477	129	914	185	1	1	1	1	1	1
98	103	84	337	253	952	158	1	1	1	1	1	1
99	44	21	153	253	280	74	1	1	1	1	1	1
100	25	23	153	477	521	55	1	1	1	1	1	1
101	153	85	477	129	914	185	1	1	1	1	1	1
102	153	85	477	129	914	185	1	1	1	1	1	1
103	153	85	477	129	914	185	1	1	1	1	1	1
104	153	85	477	129	914	185	1	1	1	1	1	1
105	153	85	477	129	914	185	1	1	1	1	1	1
106	153	85	477	129	914	185	1	1	1	1	1	1
107	153	85	477	129	914	185	1	1	1	1	1	1
108	153	85	477	129	914	185	1	1	1	1	1	1
109	153	85	477	129	914	185	1	1	1	1	1	1
110	153	85	477	129	914	185	1	1	1	1	1	1
111	153	85	477	129	914	185	1	1	1	1	1	1
112	153	85	477	129	914	185	1	1	1	1	1	1
113	153	85	477	129	914	185	1	1	1	1	1	1
114	153	85	477	129	914	185	1	1	1	1	1	1
115	153	85	477	129	914	185	1	1	1	1	1	1
116	153	85	477	129	914	185	1	1	1	1	1	1
117	153	85	477	129	914	185	1	1	1	1	1	1
118	153	85	477	129	914	185	1	1	1	1	1	1
119	153	85	477	129	914	185	1	1	1	1	1	1
120	153	85	477	129	914	185	1	1	1	1	1	1

Tabela 2



Ryc. 1. Diagram pyłkowy z Wilamowic.

Fig. 1. Pollen diagram from Wilamowice.

1 — żwir (gravel); 2 — glina z domieszką piasku (loam with sand); 3 — mułek torfiasty (peat mud); 4 — il z ciemnopopielaty (dark grey clay); 5 — il z domieszką torfu (clay with peat).